Рассеяние свистовых волн на неоднородностях плотности в ионосфере и выход волны на Землю

Кузичев И. В.

Институт космических исследований РАН, Москва, Россия.

Введение

Одним из важных вопросов, касающихся ОНЧ волн, которые распространяются в магнитосфере и ионосфере Земли в свистовой моде, является выход волны на Землю. ОНЧ волны, возникающие в результате молниевых разрядов или являющиеся излучением наземных ОНЧ-передатчиков, экспериментально регистрируются на Земле приблизительно в магнитосопряженной с источником излучения точке. В магнитосфере Земли низкочастотная свистовая волна распространяется с групповой скоростью, направление которой мало отклоняется от геомагнитного поля. В то же время, при падении на ионосферу волновой вектор волны обычно составляет довольно большой угол с нормалью к поверхности Земли. Однако из анализа уравнений для электромагнитного поля в ОНЧ-диапазоне следует, что на Землю могут выйти лишь те волны, которые падают на ионосферу почти вертикально. Таким образом, для объяснения экспериментального наблюдения ОНЧ волн на Земле требуется некоторый механизм, приводящий к появлению в спектре излучения соответствующих волновых векторов. Одним из возможных механизмов является рассеяние волны на мелкомасштабных флуктуациях плотности в магнитосфере и ионосфере.

Свистовые волны. Дисперсионное уравнение

$$AN^4+BN^2+C=0; \quad N=rac{k\,c}{\omega};$$
 $A,B,C=A,B,Cig(elle{\epsilon}_{ij},\,\cos hetaig);\,elle{\epsilon}_{ij}-\partial$ иэлектрический тензор;

$$\theta = \angle(\vec{k}, \vec{B}_0); \ \vec{B}_0 - внешнее магнитное поле.$$



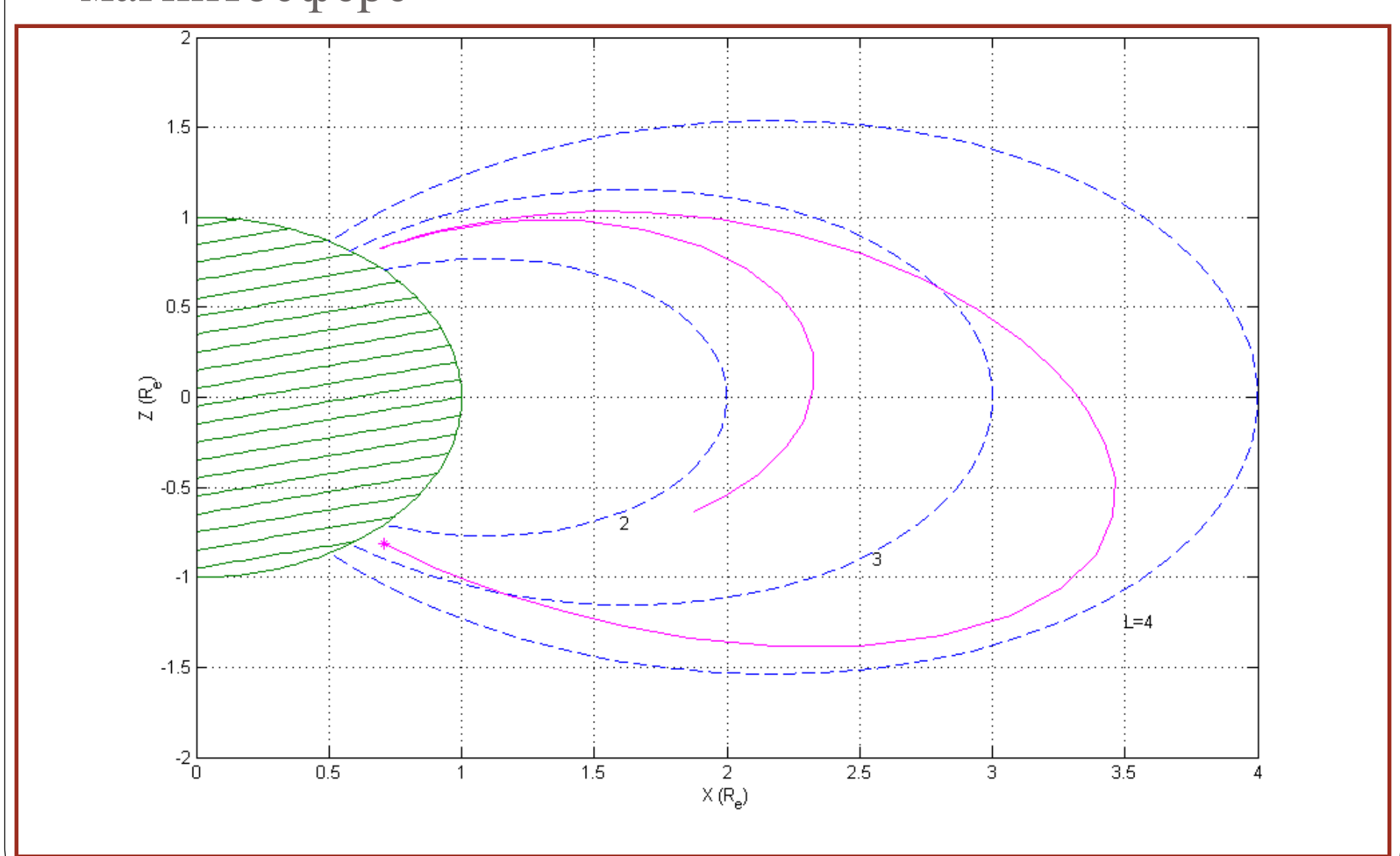
Общее дисперсионное уравнение в холодной магнитоактивной плазме.

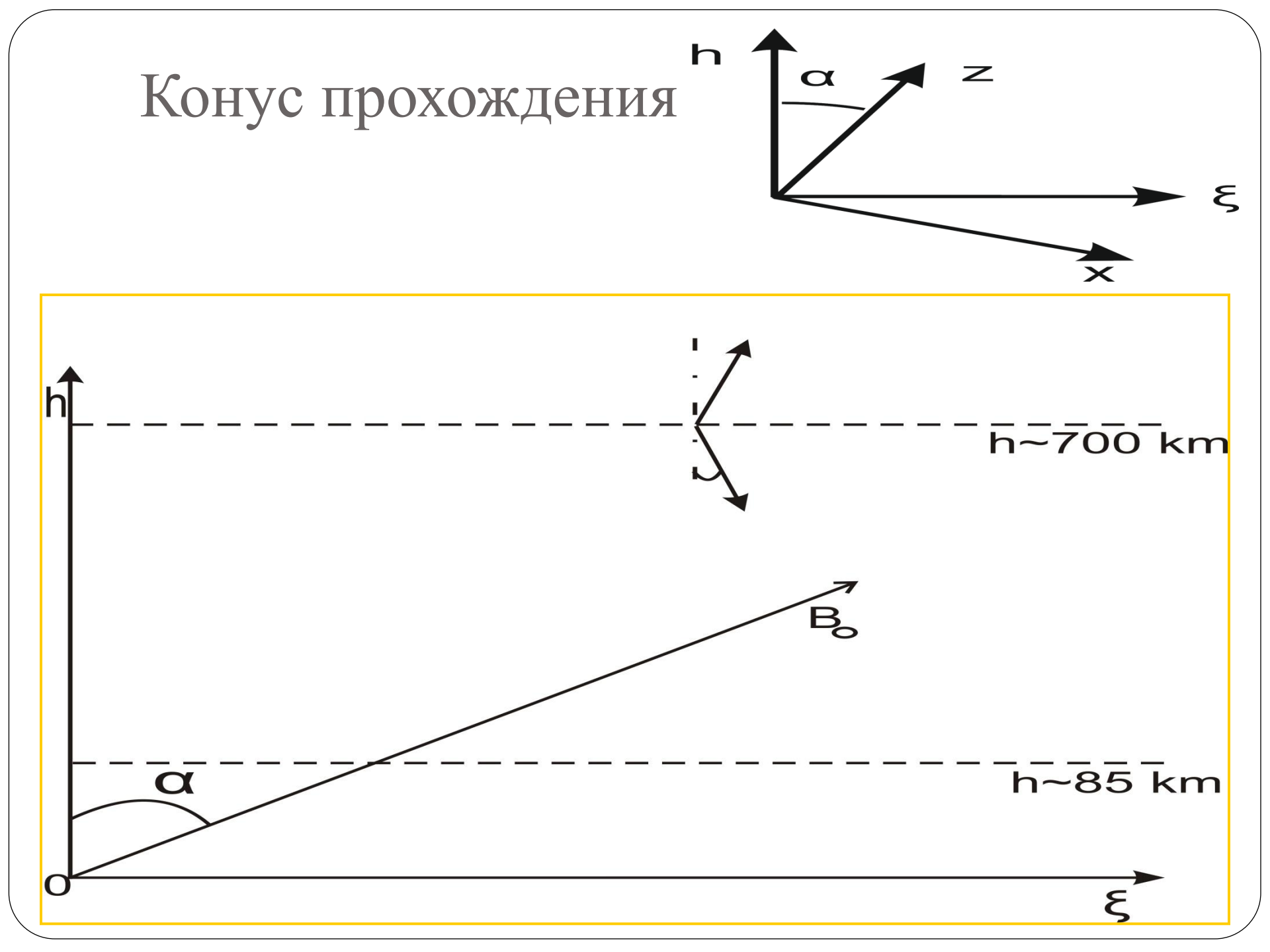
Свистовый интервал частот. Дисперсионное уравнение для свистов
$$N^2 = \frac{\omega_{Hi}^2 \ll \omega^2 < \min\{\omega_p^2, \omega_c^2\}; \quad \omega_p^2 = \frac{4\pi n_e e^2}{m};$$
 $\omega_c^2 = \frac{\omega_p^2}{\omega(\omega_c |\cos\theta| - \omega)}; \quad \omega_c = \frac{e\,B_0}{m\,c}.$

$$N^2 = rac{\omega_p^2}{\omega(\omega_c \mid \cos \theta \mid -\omega)}; \qquad \omega_c = rac{e \, B_0}{m \, c}.$$

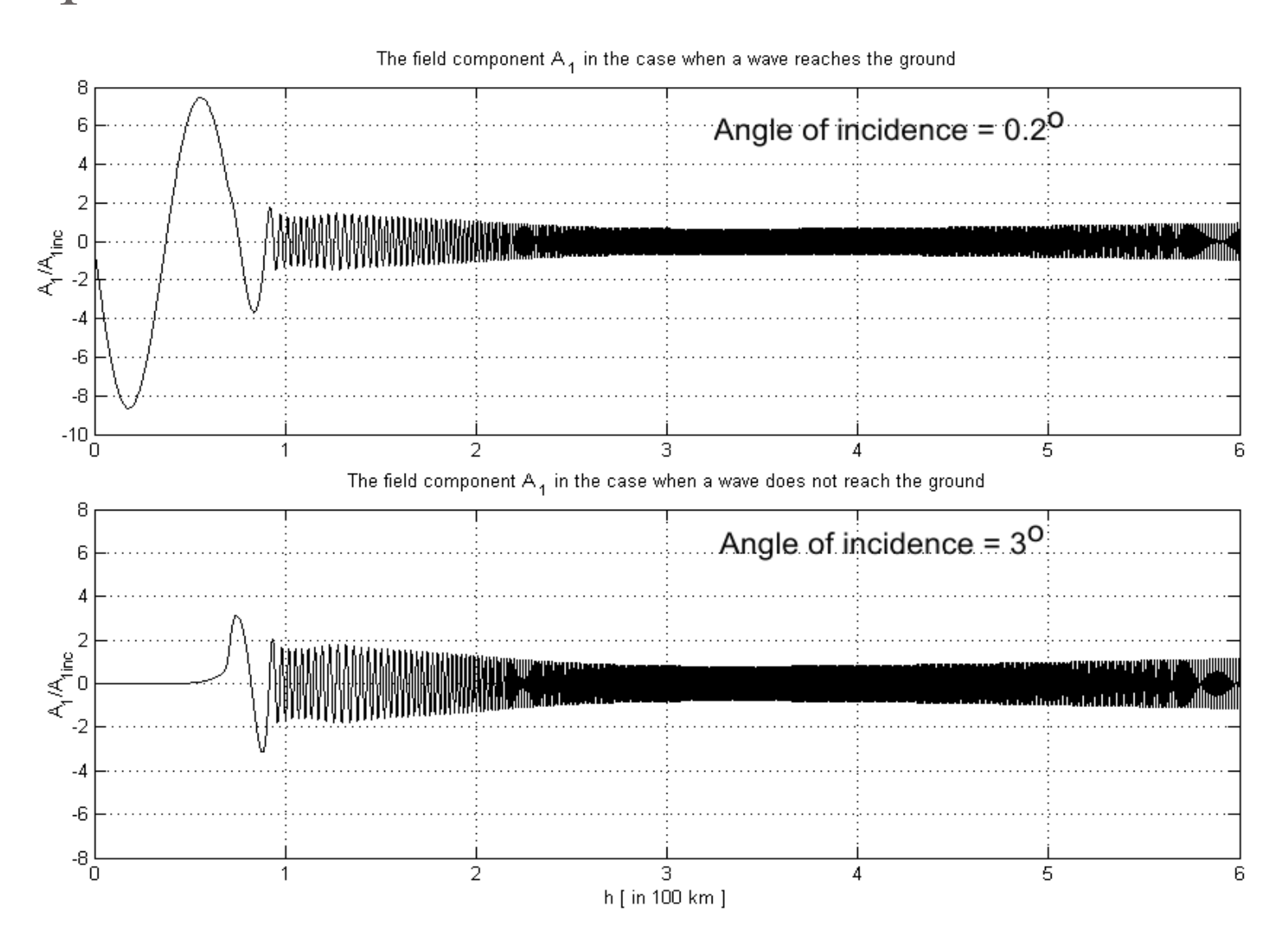
В ионосфере и магнитосфере Земли этому интервалу частот принадлежит килогерцовый диапазон частот: ~ 1-30 кГц.

Характерная траектория свистовой волны в магнитосфере

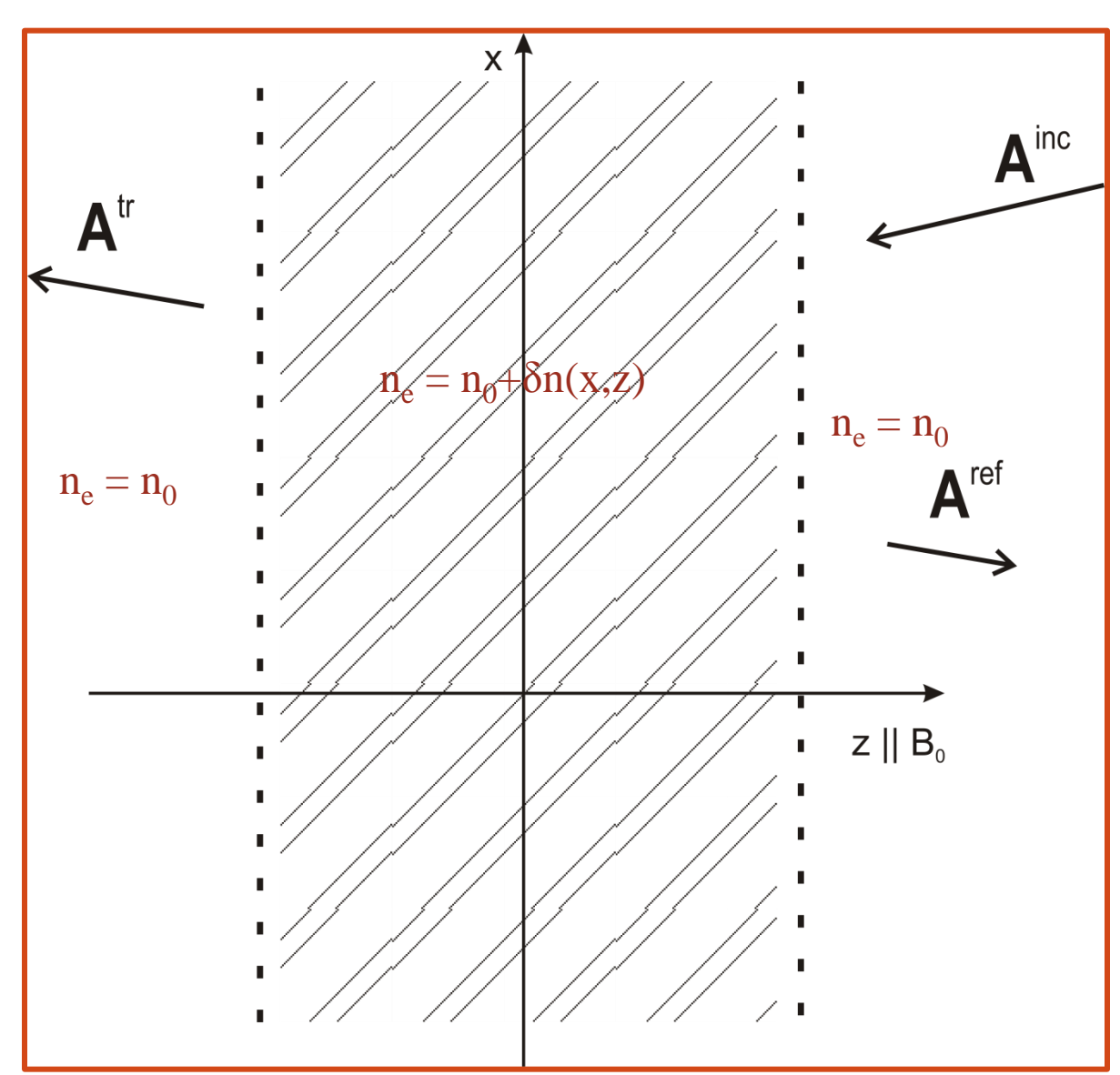




Распространение внутри и вне конуса прохождения



Геометрия задачи



Область с флуктуациями ограничена по оси z, но может быть бесконечной вдоль оси x.

Плоскость (x, z) содержит волновой вектор падающей волны. Параметры среды и, следовательно, поля предполагаются не зависящими от координаты у.

Волна падает из $z \to +\infty$

Соответственно, при $z \to -\infty$ есть только прошедшая волна, а на $z \to +\infty$ добавляется еще отраженная волна.

Основные уравнения

Рассматривается стационарная задача, электромагнитное поле описывается комплексным вектор-потенциалом $\mathbf{A} = \mathbf{A}(\mathbf{x}, \mathbf{z})$, который удовлетворяет уравнениям Максвелла в среде.

$$rot \ rot \ \mathbf{A}(x,z) = \mathbf{\varepsilon} \ \mathbf{A}(x,z) \quad (1);$$

$$\mathbf{\varepsilon} = \begin{pmatrix} \varepsilon_1 & i \, \varepsilon_2 & 0 \\ -i \, \varepsilon_2 & \varepsilon_1 & 0 \\ 0 & 0 & \varepsilon_3 \end{pmatrix};$$

$$\frac{\varepsilon_1}{c^2} = \frac{\omega_p^2 + \omega_c^2}{c^2 \omega_c^2} - \frac{\omega_p^2 + \omega_c^2}{c^2 \omega_c^2} \frac{\omega_{LH}^2}{\omega^2} \equiv \zeta;$$

$$\frac{\varepsilon_2}{c^2} = -\frac{\omega_p^2}{c^2 \omega_c \omega} \equiv -\frac{\gamma}{\omega^2}; \frac{\varepsilon_3}{c^2} = -\frac{\omega_p^2}{c^2 \omega^2} \equiv -\frac{\eta}{\omega^2};$$
D.R. Shklyar, H. Washimi, J. Geophys. Res., 99, 23, 695, 1994.

С учетом флуктуаций плотности, $n_e = n_0 + \delta n(x,z)$, перепишем (1) так, чтобы нерегулярные слагаемые оказались в правой части уравнения.

$$\mathbf{M} \mathbf{A} = \mathbf{R} \mathbf{A} \qquad (2)$$

$$\mathbf{M} = \begin{bmatrix} \frac{\partial^2}{\partial z^2} + \omega^2 \zeta_0 & -i\omega \gamma_0 & -\frac{\partial^2}{\partial x \partial z} \\ i\omega \gamma_0 & \frac{\partial^2}{\partial z^2} + \frac{\partial^2}{\partial x^2} + \omega^2 \zeta_0 & 0 \\ -\frac{\partial^2}{\partial x \partial z} & 0 & \frac{\partial^2}{\partial x^2} - \eta_0 \end{bmatrix}.$$

$$\mathbf{R} = \begin{bmatrix} -\omega^2 \delta \zeta & i\omega \delta \gamma & 0 \\ -i\omega \delta \gamma & -\omega^2 \delta \zeta & 0 \\ 0 & 0 & \delta \eta \end{bmatrix}.$$

$$\mathbf{R} = \begin{pmatrix} -\omega^2 \, \delta \, \zeta & i\omega \, \delta \gamma & 0 \\ -i\omega \, \delta \, \gamma & -\omega^2 \, \delta \, \zeta & 0 \\ 0 & 0 & \delta \, \eta \end{pmatrix}$$

Граничные условия (асимптотические) имеют следующий вид

$$\mathbf{A}(x,z \to +\infty) \to \mathbf{A}^{inc}(x,z) + \int \frac{dp}{2\pi} r(p) \mathbf{a}^{(1)}(p) e^{iq_r(p)z + ipx};$$

$$\mathbf{A}(x,z \to -\infty) \to \int \frac{dp}{2\pi} t(p) \mathbf{a}^{(2)}(p) e^{-iq_r(p)z + ipx}.$$

 Γ де ($\mathbf{a}^{(1)}(\mathbf{p})$, $\mathbf{a}^{(2)}(\mathbf{p})$) — поляризационные вектора отраженной и падающей волны, а $\mathbf{q}_{\mathbf{r}}(\mathbf{p}) > 0$ — один

из корней дисперсионного уравнения $\det M(p,q) = 0$, вторым корнем (отличающимся не знаком) которого является $q = i q_i(p), q_i(p) > 0$

$$\mathbf{M}(p,q) = \begin{pmatrix} -q^2 + \omega^2 \zeta_0 & -i\omega \gamma_0 & pq \\ i\omega \gamma_0 & -p^2 - q^2 + \omega^2 \zeta_0 & 0 \\ pq & 0 & -p^2 - \eta_0 \end{pmatrix}.$$

Закон сохранения энергии

Из уравнения (2) можно вывести закон сохранения энергии, который с помощью коэффициентов отражения и прохождения записывается в следующем виде

$$\int \frac{dp}{2\pi} (|r(p)|^2 v_1(p) + |C^{inc}(p)|^2 v_2(p)) = \int \frac{dp}{2\pi} |t(p)|^2 v_2(p)$$

где $v_1(p)$, $v_2(p)$ – групповые скорости, определяемые соотношениями

$$v_{\lambda}(p) = -\left(\mathbf{a}^{(\lambda)}(p), \mathbf{D}^{(\lambda)}(p)\mathbf{a}^{(\lambda)}(p)\right)$$

$$\mathbf{D} = \begin{bmatrix} -2q_{\lambda}(p) & 0 & p \\ 0 & -2q_{\lambda}(p) & 0 \\ p & 0 & 0 \end{bmatrix}.$$

$$q_{\lambda}(p) = \pm q_{r}(p)$$

а C^{inc}(p) - амплитуда падающей волны.

Функция Грина

Поскольку мы предполагаем решать задачу методом последовательных приближений, удобно свести дифференциальное уравнение (2) к интегральному, для чего воспользуемся методом функции Грина.

$$\mathbf{A}(x,z) = \mathbf{A}^{inc} + \int dx' dz' \mathbf{G}(x-x',z-z') \mathbf{R}(x',z') \mathbf{A}(x',z'); (3)$$

$$\mathbf{G}(x,z) = \int \frac{dp}{2\pi} \frac{dq}{2\pi} \mathbf{G}(p,q) \exp(i \ p \ x + i \ q \ z);$$

$$\mathbf{G}(p,q) = (\mathbf{M}(p,q))^{-1} = \frac{\mathbf{L}(p,q)}{\det \mathbf{M}(p,q)}.$$

 $\mathbf{L}(\mathbf{p},\mathbf{q})$ – присоединенная матрица

$$\mathbf{L} = \begin{pmatrix} (p^{2} + q^{2} - \omega^{2}\zeta_{0})(\eta_{0} + p^{2}) & -i\omega\gamma_{0}(\eta_{0} + p^{2}) & pq(p^{2} + q^{2} - \omega^{2}\zeta_{0}) \\ i\omega\gamma_{0}(\eta_{0} + p^{2}) & (q^{2} - \omega^{2}\zeta_{0})(\eta_{0} + p^{2}) - p^{2}q^{2} & i\omega\gamma_{0}pq \\ pq(p^{2} + q^{2} - \omega^{2}\zeta_{0}) & -i\omega\gamma_{0}pq & (q^{2} - \omega^{2}\zeta_{0})(q^{2} + p^{2} - \omega^{2}\zeta_{0}) - \omega^{2}\gamma_{0}^{2} \end{pmatrix}$$

Борновское приближение

В данной работе мы ограничимся лишь первым порядком метода последовательных приближений – борновским приближением.

$$\begin{split} r(p) &= -\frac{i}{|\mathbf{a}^{(1)}|^2} \Bigg(\mathbf{a}^{(1)}(p), \frac{\mathbf{L}(p,q_r(p))}{2q_r(p)(q_r^2 + q_i^2)\eta_0} \int \frac{dp_1}{2\pi} \frac{dq_1}{2\pi} \mathbf{R}(p - p_1, q_r(p_1) + q_r(p)) C^{inc}(p_1) \mathbf{a}^{(2)}(p_1) \Bigg) \equiv \\ &\int \frac{dp_1}{2\pi} Tr^{21}(p, p_1) \delta n(p - p_1, q_r(p_1) + q_r(p)) C^{inc}(p_1), \\ t(p) &= C^{inc}(p) - \frac{i}{|\mathbf{a}^{(2)}|^2} \Bigg(\mathbf{a}^{(2)}(p), \frac{\mathbf{L}(p, -q_r(p))}{2q_r(p)(q_r^2 + q_i^2)\eta_0} \int \frac{dp_1}{2\pi} \frac{dq_1}{2\pi} \mathbf{R}(p - p_1, q_r(p_1) - q_r(p)) C^{inc}(p_1) \mathbf{a}^{(2)}(p_1) \Bigg) \equiv \\ C^{inc}(p) + \int \frac{dp_1}{2\pi} Tr^{22}(p, p_1) \delta n(p - p_1, q_r(p_1) - q_r(p)) C^{inc}(p_1). \end{split}$$

Ослабление интенсивности

С помощью полученных формул можно рассчитать насколько ослабляется падающий сигнал, локализованный в области р \sim p_0 , за счет рассеяния

$$\Delta S = \left\langle \int_{p \sim p_0} \frac{dp}{2\pi} \left(|t(p)|^2 - |C^{inc}(p)|^2 \right) v_2(p) \right\rangle$$

Предполагая флуктуации плотности станионарными по х получим следующий

результат

$$\langle \delta n^*(p_1,q)\delta n(p_2,q)\rangle = w(p_1,q)\delta(p_1-p_2)$$

$$\Delta S \simeq -\frac{W(p_0)}{v_2(p_0)} \mathbf{S}_z^{inc};$$

где $W(p_0)$ – выражается через введенные выше величины

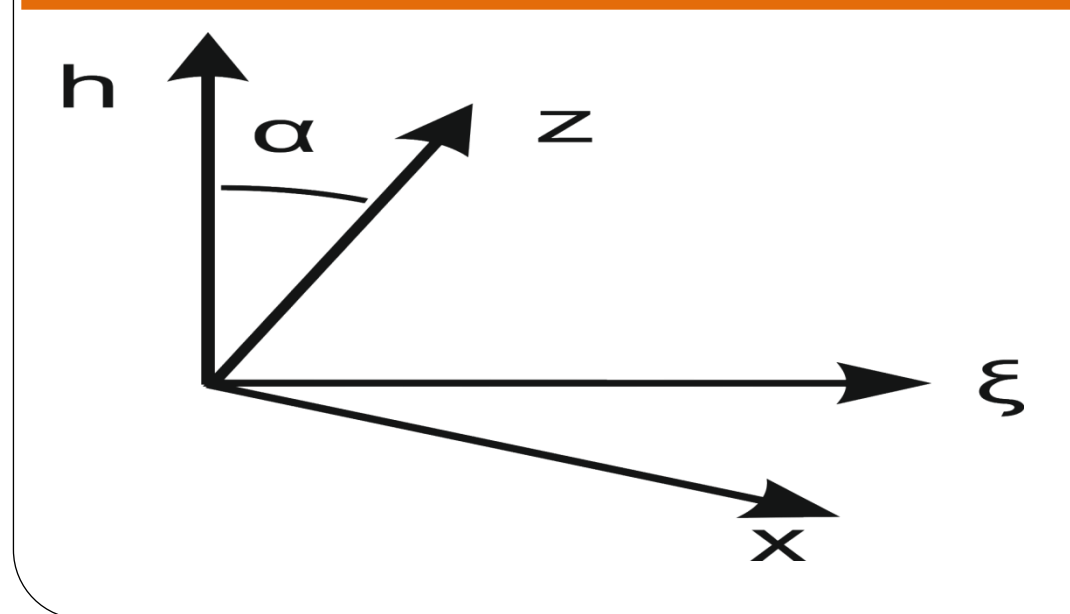
$$W(p_0) = \int \frac{dp}{2\pi} v_2(p) \begin{bmatrix} |Tr^{22}(p, p_0)|^2 w(p - p_0, q_r(p_0) - q_r(p)) + \\ + |Tr^{21}(p, p_0)|^2 w(p - p_0, q_r(p_0) + q_r(p)) \end{bmatrix}.$$

Рассеяние в конус прохождения

Для того, чтобы найти какая часть энергии падающей волны уходит в конус прохождения и, соответственно, доходит до Земли, вычислим соответствующий поток энергии

$$\mathbf{S}_{h}^{cone} \simeq 2 \frac{\omega}{c} \frac{1}{2\pi} \frac{|Tr^{22}(p_{out}, p_{0})|^{2}}{|d_{p}(p_{out}, 0)|^{2}} w(p_{out} - p_{0}, q_{r}(p_{0}) - q_{r}(p_{out})) \frac{v_{2}^{(h)}(p_{out})}{v_{2}(p_{0})} \mathbf{S}_{z}^{inc}(p_{0});$$

$$p_{out}: d(p, 0) = p \cos \alpha - q_{r}(p) \sin \alpha = 0;$$



Параметры плазмы и неоднородностей, использовавшиеся в расчётах

Широта ~ 70° ; высота ~ $300 \, km \, (F2)$; $\omega_p = 647 \, kHz$; $\omega_c = 1680 \, kHz$; $M_{eff} = 25891$; $\omega = 10 \, kHz$.

$$w(p,q) = \left\langle \delta n^2 \right\rangle w_p(p) w_q(q), \quad \left\langle \delta n^2 \right\rangle = 0.04;$$

$$w_q(q) = C_q \exp(-q^2 / \sigma_q^2), \quad 1/\sigma_q = 10 \, km;$$

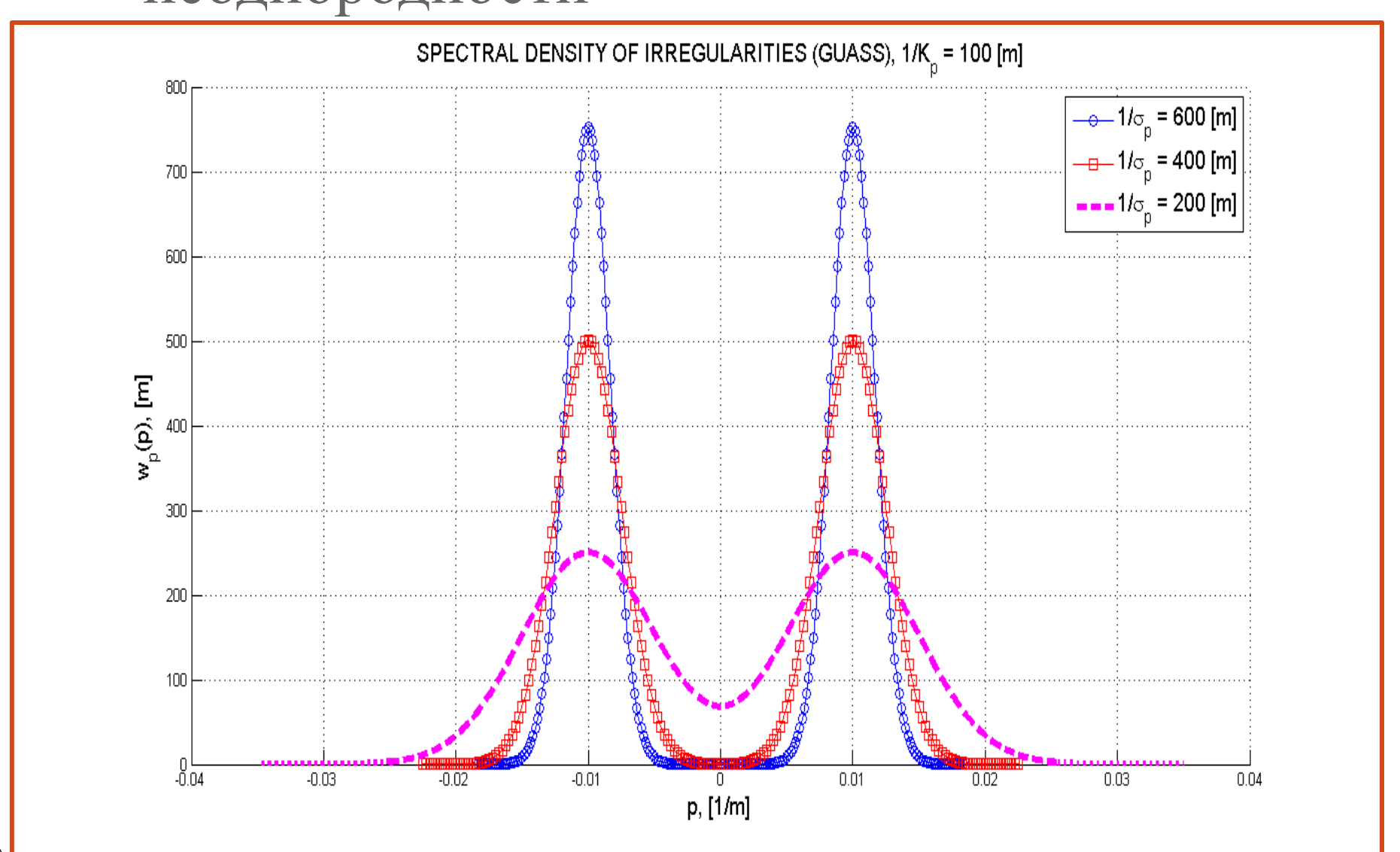
$$w_p(p) = C_p^G \left\{ \exp(-(p - K_p)^2 / 2\sigma_p^2) + \exp(-(p + K_p)^2 / 2\sigma_p^2) \right\} - Gaussian;$$

$$w_p(p) = C_p^{pl} \exp(-L_{cut} \cdot KPL_p^2 / p^2) \{1 + p^2 / KPL_p^2\}^{-\nu/2} - Power law, \nu = 3.$$

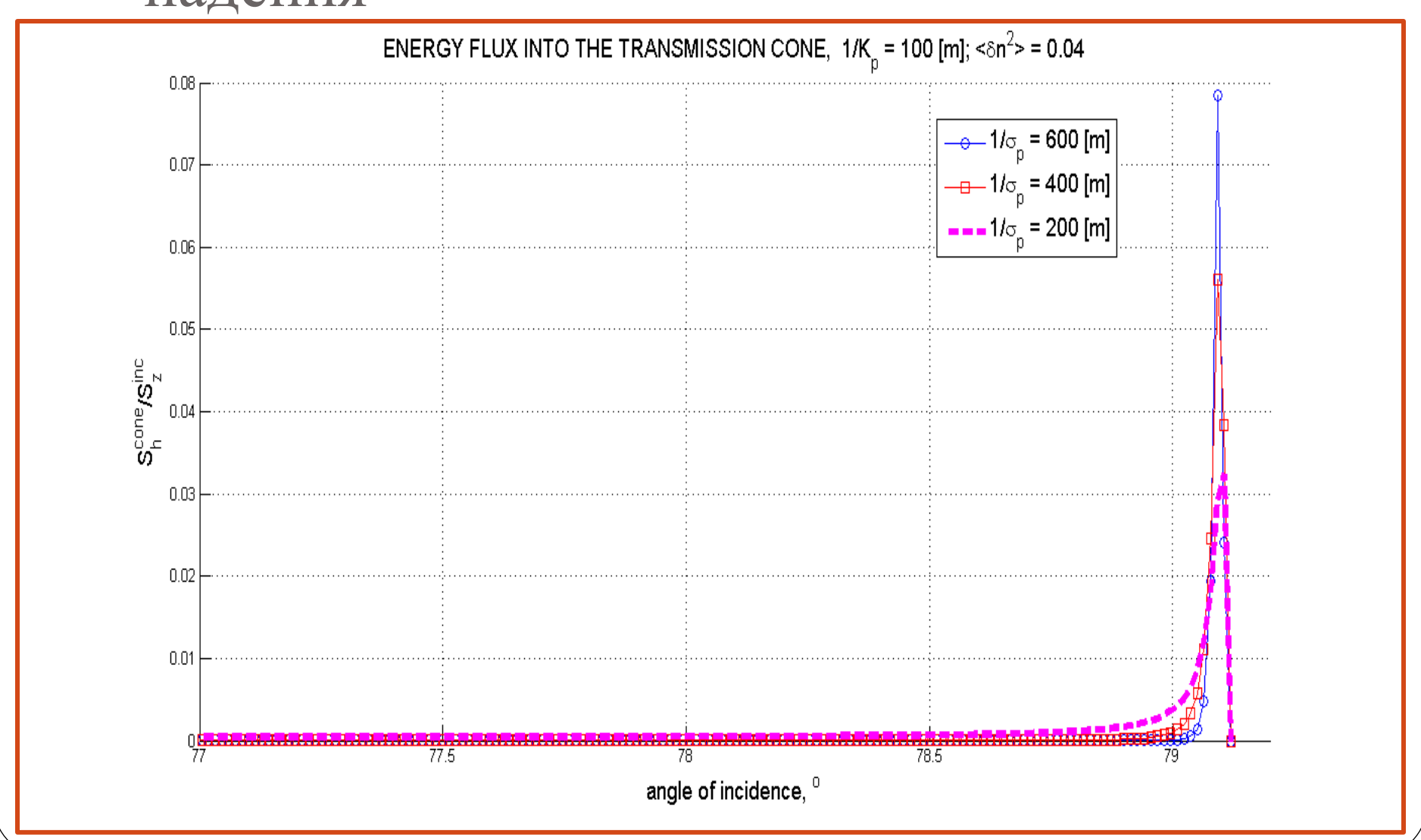
Costa, E., R.P. Eurico, L.F.C. Rezende, K.M. Groves, P.A. Roddy, E.V. Dao, and M.C. Kelley, (2011), Equatorial scintillation calculations based on coherent scatter radar and C/NOFS data, Radio Sci., 46, RS2011, doi:10.1029/2010RS004435.

Herman, J.R., (1966), Spread F and Ionospheric F-Region Irregularities, Reviews of Geophysics, 4,2, pp. 255–299.

Распределение Гаусса. Метровые неоднородности



Распределение Гаусса. Зависимость рассеяния в конус прохождения от угла падения



Причины столь резкой зависимости от угла падения

Оптимальный угол падения определяется соотношением

$$|p_0 - p_{out}| \sim K_p;$$

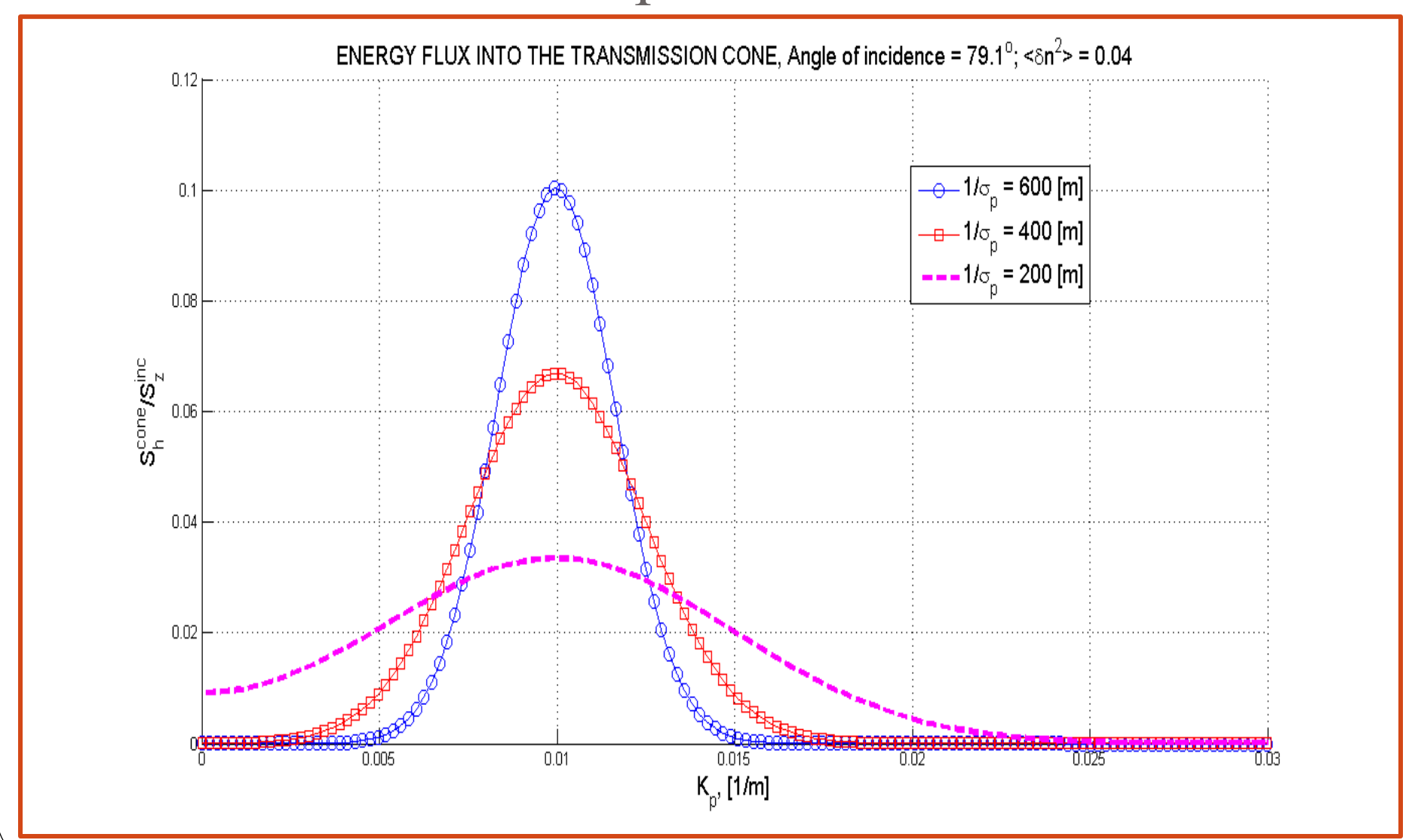
но для метровых неоднородностей это очень большие p_0 :

$$p_0^2 + q_r^2(p_0) \gg \eta_0$$
, но тогда

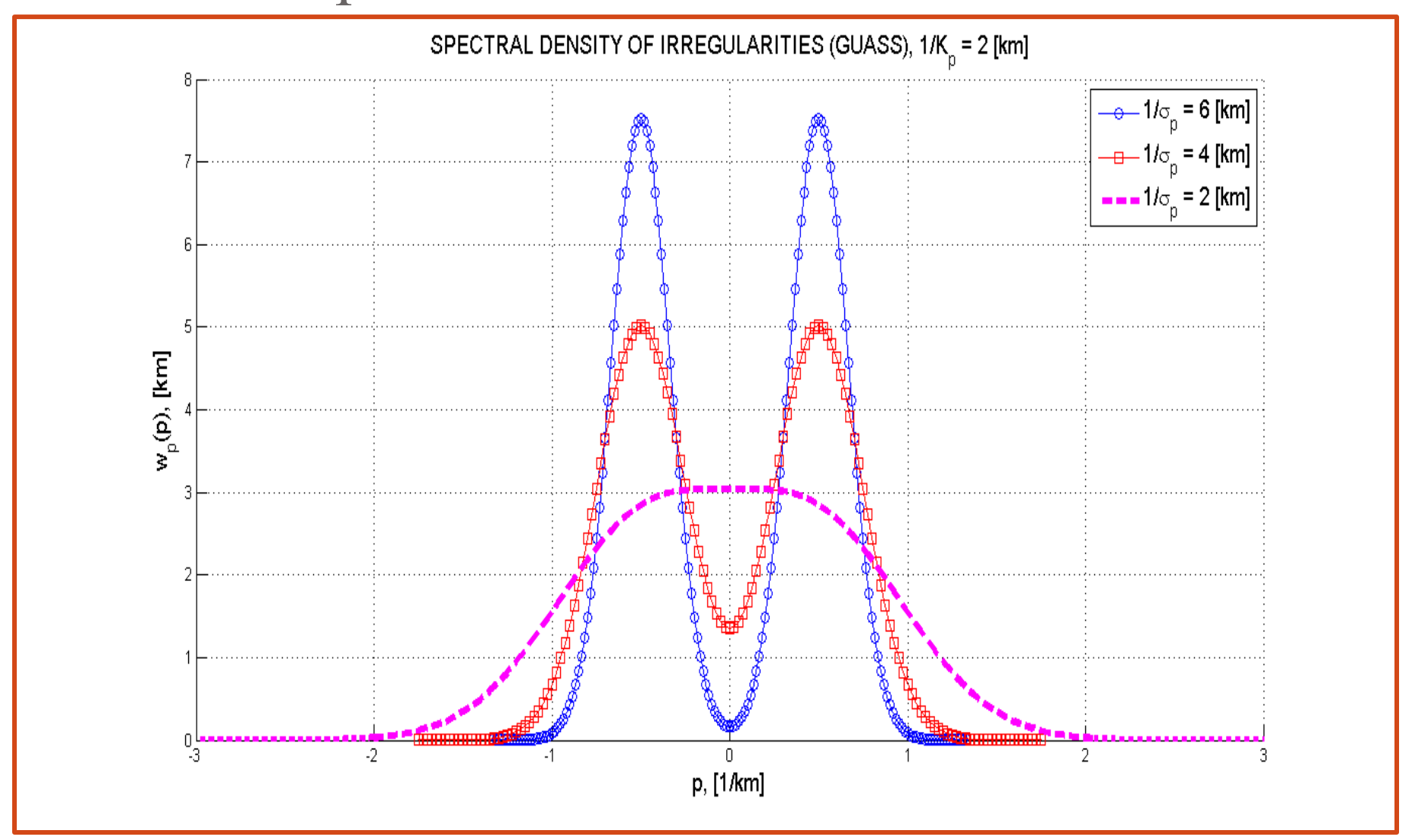
$$q_r(p_0) \sim \sqrt{\zeta_0/\eta_0} \; p_0$$
 – линейная функция!

Поэтому для таких больших значений p_0 угол падения не меняется при изменении p_0 . И для того, чтобы изменить угол существенно, нужно далеко отойти от оптимального p_0 .

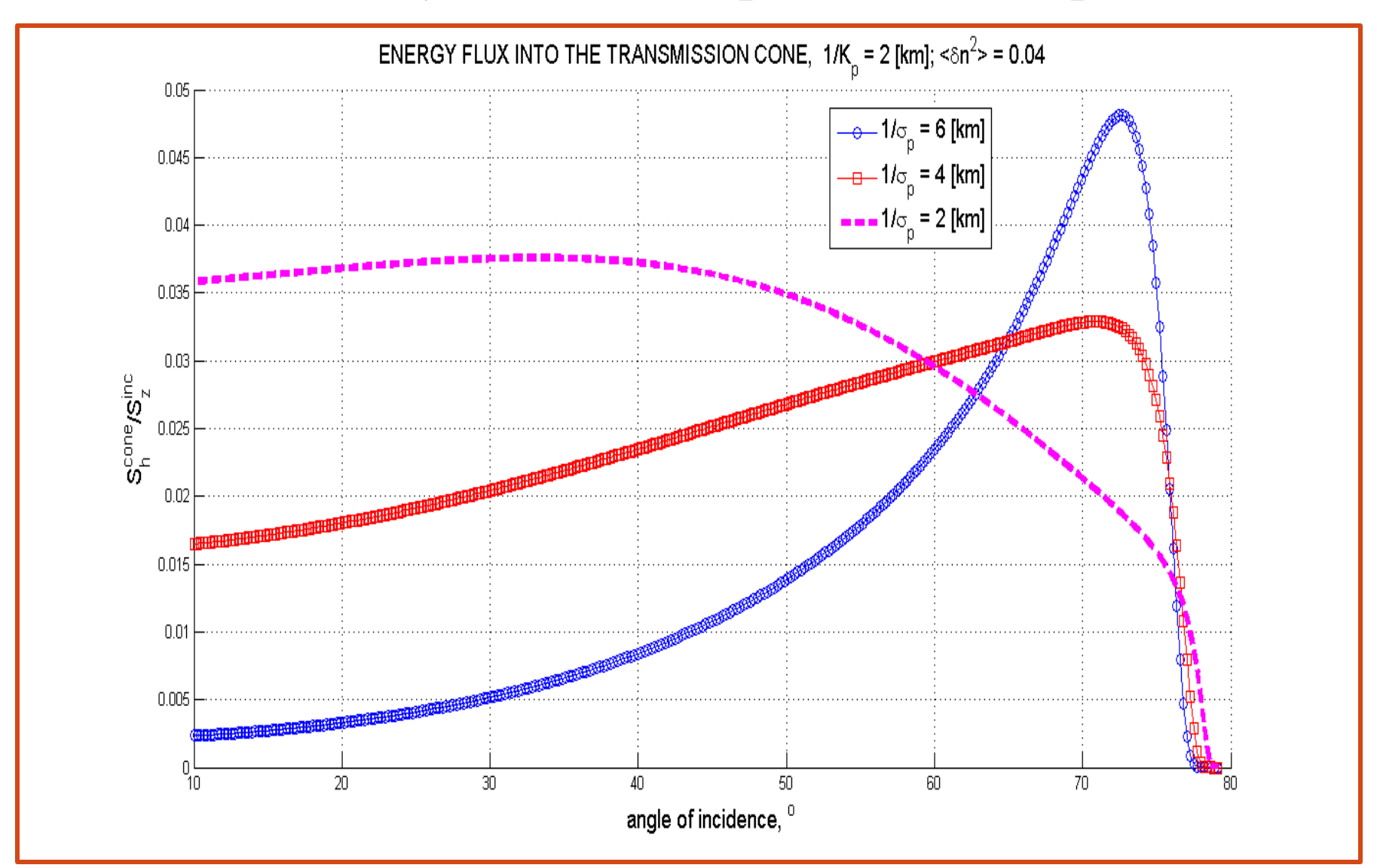
Распределение Гаусса. Различные масштабы неоднородностей



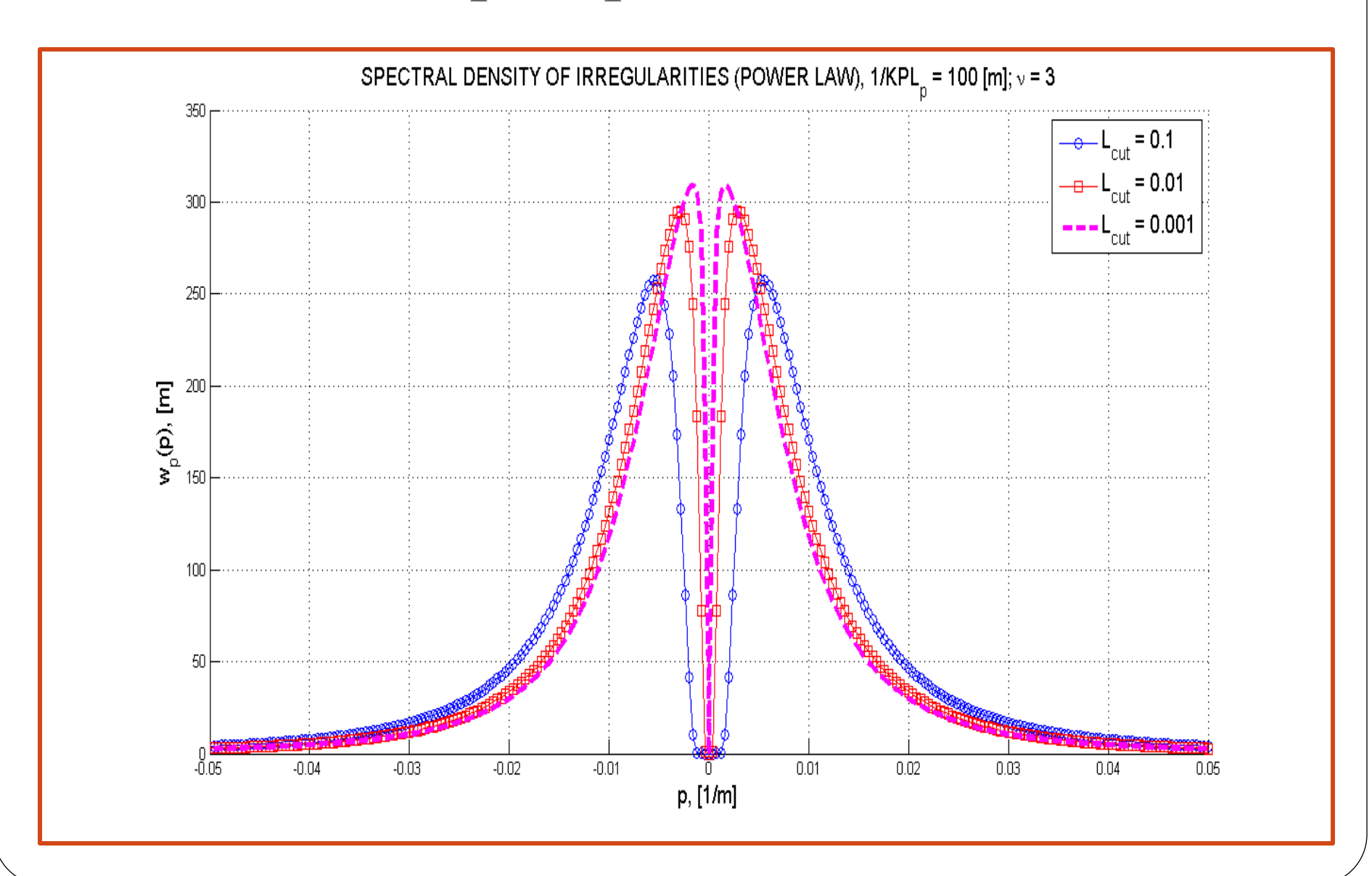
Распределение Гаусса. Километровые неоднородности



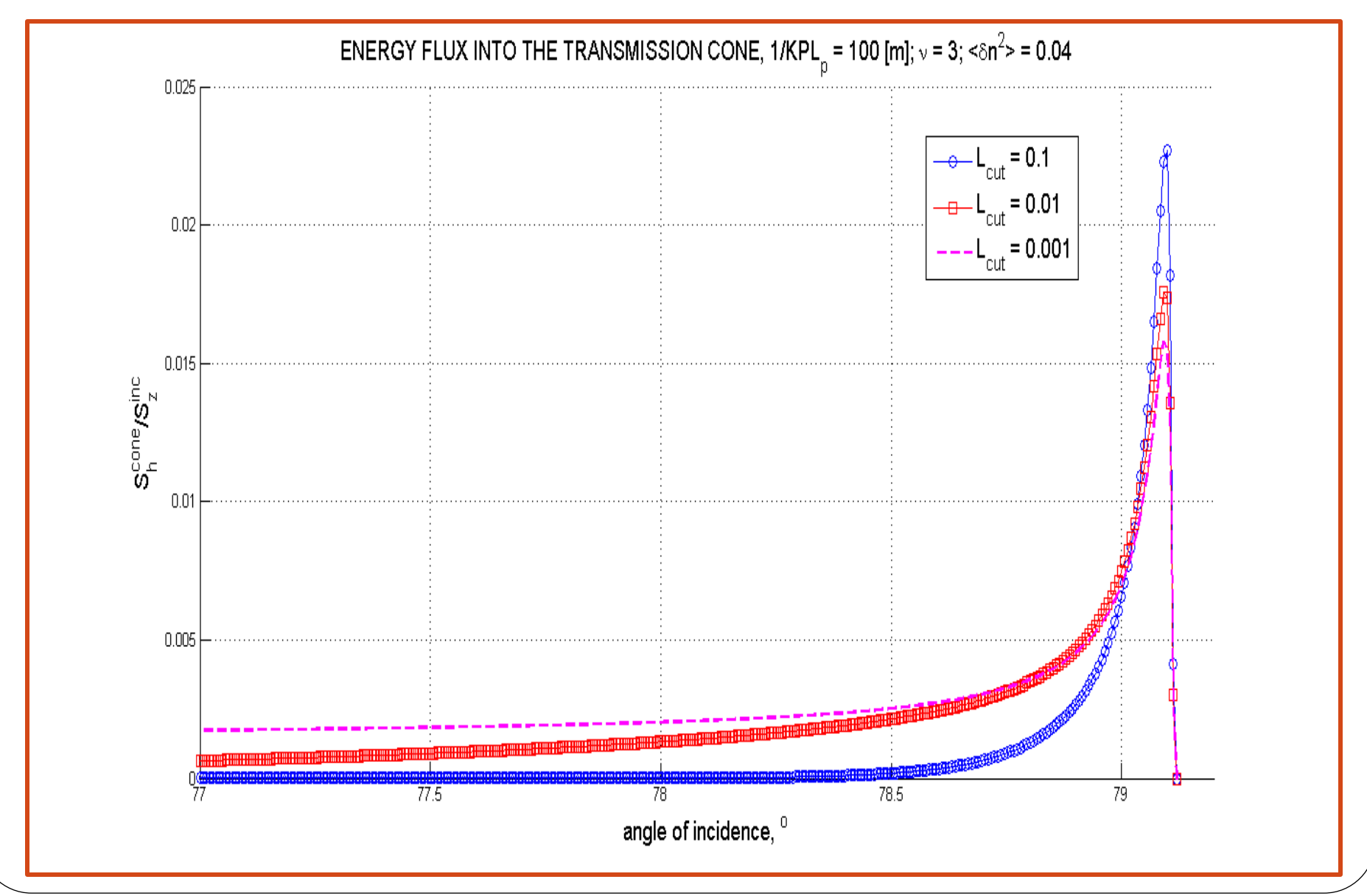
Распределение Гаусса. Зависимость от угла падения в случае километровых неоднородностей



Степенное распределение



Степенное распределение. Зависимость от угла падения



Борновский ряд

Коэффициенты прохождения и отражения можно представить в следующем виде

$$r(p) = -\frac{i}{|\mathbf{a}^{(1)}|^2} \left(\mathbf{a}^{(1)}(p), \frac{\mathbf{L}(p, q_r(p))}{2q_r(p)(q_r^2 + q_i^2)\eta_0} \int \frac{dp_1}{2\pi} \frac{dq_1}{2\pi} \mathbf{R}(p - p_1, q_r(p) - q_1) \mathbf{A}(p_1, q_1) \right);$$
(4)

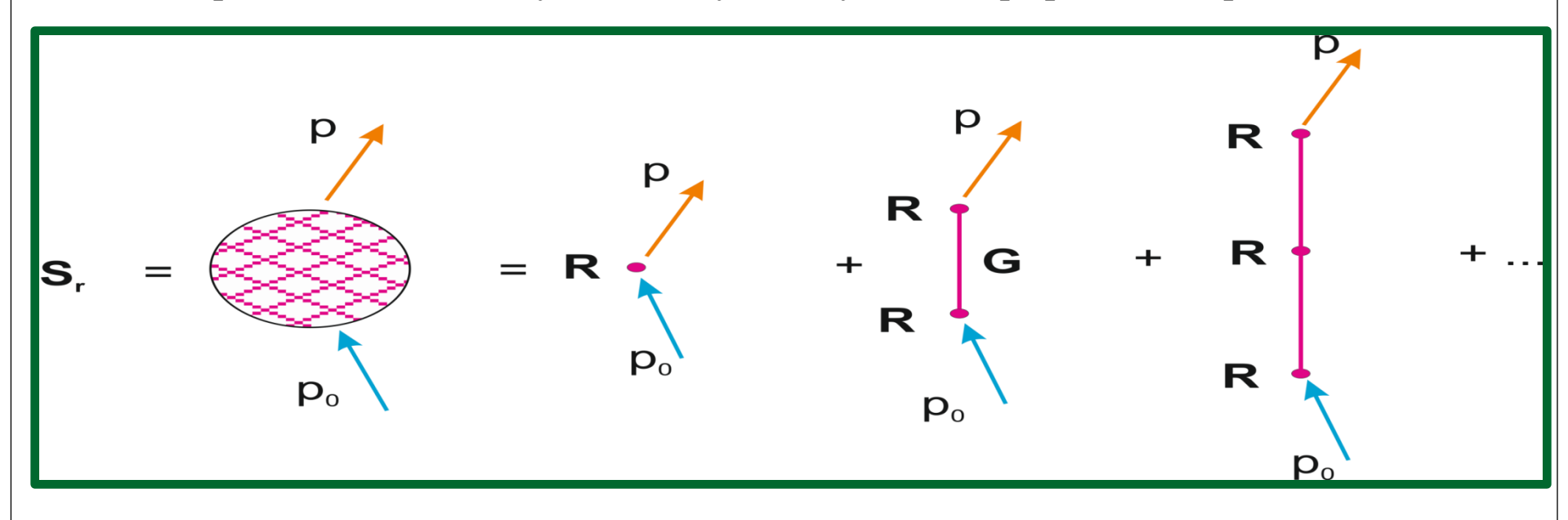
$$t(p) = C^{inc}(p) - \frac{i}{|\mathbf{a}^{(2)}|^2} \left(\mathbf{a}^{(2)}(p), \frac{\mathbf{L}(p, -q_r(p))}{2q_r(p)(q_r^2 + q_i^2)\eta_0} \int \frac{dp_1}{2\pi} \frac{dq_1}{2\pi} \mathbf{R}(p - p_1, -q_r(p) - q_1) \mathbf{A}(p_1, q_1) \right).$$

Будем решать интегральное уравнение для поля (3) методом последовательных приближений, взяв в качестве падающей волны плоскую с волновым вектором (p_0 , $-q_r(p_0)$).

$$\begin{split} &\mathbf{A}(p_{1},q_{1}) = \mathbf{S}(p_{1},q_{1})\mathbf{a}^{(2)}(p_{0}); \quad \mathbf{S}(p_{1},q_{1}) = \mathbf{1}\delta(p_{1}-p_{0})\delta(q_{1}+q_{r}(p_{0})) + \mathbf{G}(p_{1},q_{1})\mathbf{R}(p_{1}-p_{0},q_{1}+q_{r}(p_{0})) + \\ &+ \mathbf{G}(p_{1},q_{1})\int \frac{dp_{2}}{2\pi} \frac{dq_{2}}{2\pi} \mathbf{R}(p_{1}-p_{2},q_{1}-q_{2})\mathbf{G}(p_{2},q_{2})\mathbf{R}(p_{2}-p_{0},q_{2}+q_{r}(p_{0})) + \dots; \\ &r(p\mid p_{0}) = -\frac{i}{|\mathbf{a}^{(1)}|^{2}} \left(\mathbf{a}^{(1)}(p), \frac{\mathbf{L}(p,q_{r}(p))}{2q_{r}(p)(q_{r}^{2}+q_{i}^{2})\eta_{0}} \mathbf{S}_{r}\mathbf{a}^{(2)}(p_{0})\right); \quad \mathbf{S}_{r} \equiv \int \frac{dp_{1}}{2\pi} \frac{dq_{1}}{2\pi} \mathbf{R}(p-p_{1},q_{r}(p)-q_{1})\mathbf{S}(p_{1},q_{1}). \end{split}$$

Графическое представление борновского ряда

Для матрицы Sr можно получить следующее удобное графическое представление



дающее простую физическую интерпретацию каждому члену борновского ряда и позволяющее достаточно просто считать слагаемые высоких порядков. Например, для Члена третьего порядка отсюда следует такое выражение

$$\int \frac{dp_2}{2\pi} \frac{dq_2}{2\pi} \frac{dp_1}{2\pi} \frac{dq_1}{2\pi} \mathbf{R}(p - p_1, q_r(p) - q_1) \mathbf{G}(p_1, q_1) \mathbf{R}(p_1 - p_2, q_1 - q_2) \mathbf{G}(p_2, q_2) \mathbf{R}(p_2 - p_0, q_2 + q_r(p)) ;$$

Заключение

В работе рассмотрена задача о рассеянии свистовой волны с произвольным направлением вектора волновой нормали на занимающем конечную область пространства слое с мелкомасштабными неоднородностями.

Предложен новый подход к решению этой задачи, основанный на использовании функции Грина и сведении дифференциального уравнения к интегральному, что существенно облегчает применение метода последовательных приближений.

Получено решение уравнений Максвелла в борновском приближении, определены коэффициенты отражения и прохождения волны.

Рассчитано ослабление интенсивности падающего сигнала за счет рассеяния.

Получено выражение для рассеяния в конус прохождения, связывающее плотность потока энергии волн, рассеянных в конус прохождения, т.е. выходящих на Землю с плотностью потока энергии падающей волны.

Список литературы

- R.A. Helliwell, *Whistlers and Related Ionospheric Phenomena*, Stanford, California: Stanford University Press, 1965.
- K.G. Budden, *The Propagation of Radio Waves*, Cambridge: Cambridge Univ. Press, 1985.
- S.N. Antani, D.J. Kaup, Whistler scattering from density fluctuations in magnetized plasma, Phys. Fluids, 27(5), 1984.
- D.M. Simonich, K.C. Yeh, *A theory of scattering from irregularities in a magneto-ionic medium*, Radio Science, 7, 2, p 291, 1972.
- D.R. Shklyar, H. Washimi, *LHR wave excitation by whistlers in the magnetospheric plasma*, J. Geophys. Res., 99, 23,695, 1994.
- D.R. Shklyar, I. Nagano, On VLF wave scattering in plasma with density irregularities, J. Geophys. Res., 103, 29,515-29,526, 1998.

Спасибо за внимание!